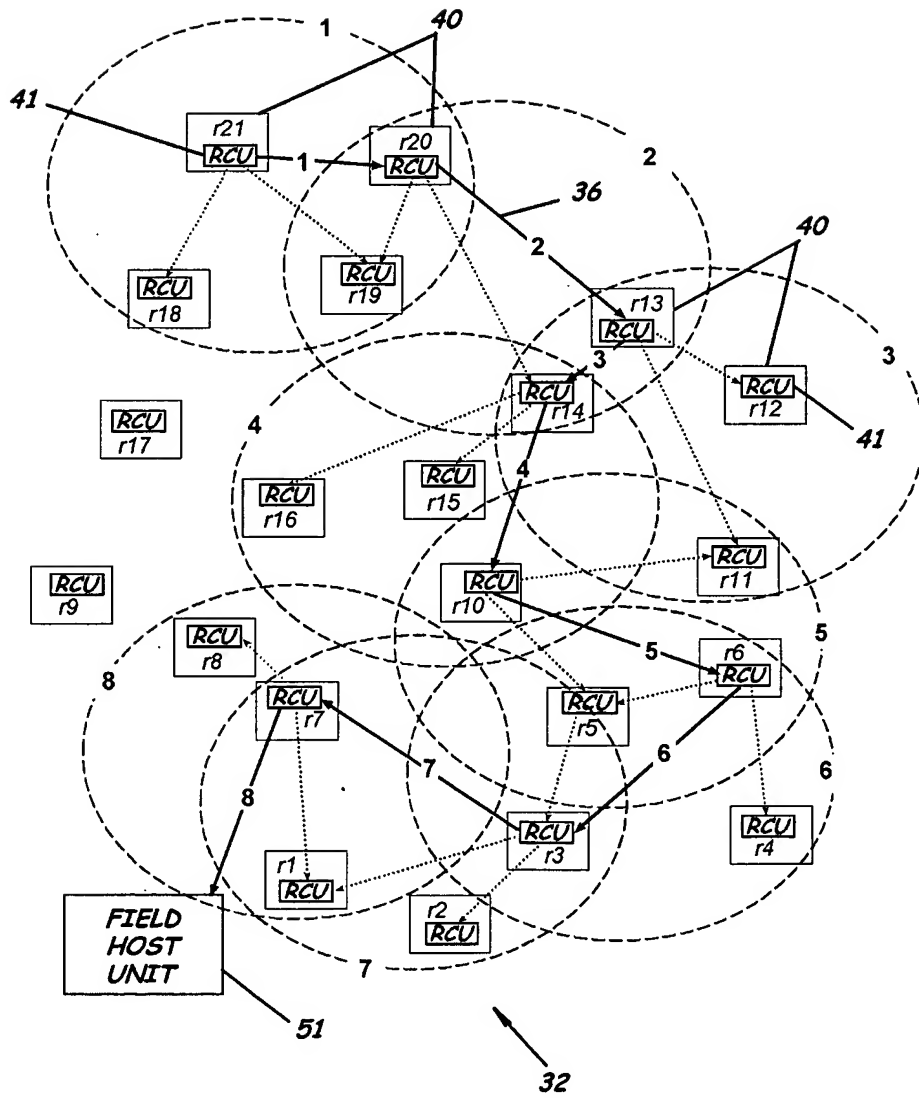
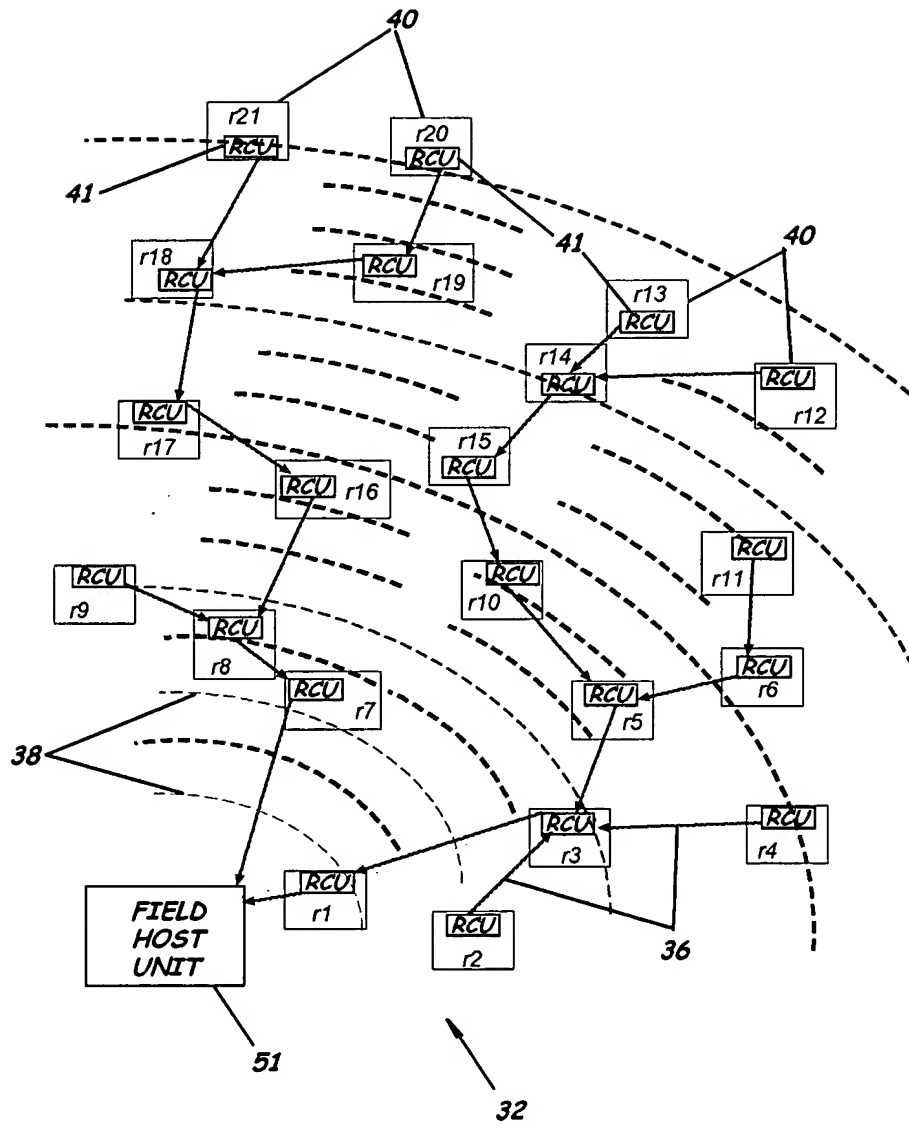


FIG. 3.

**FIG. 4.**

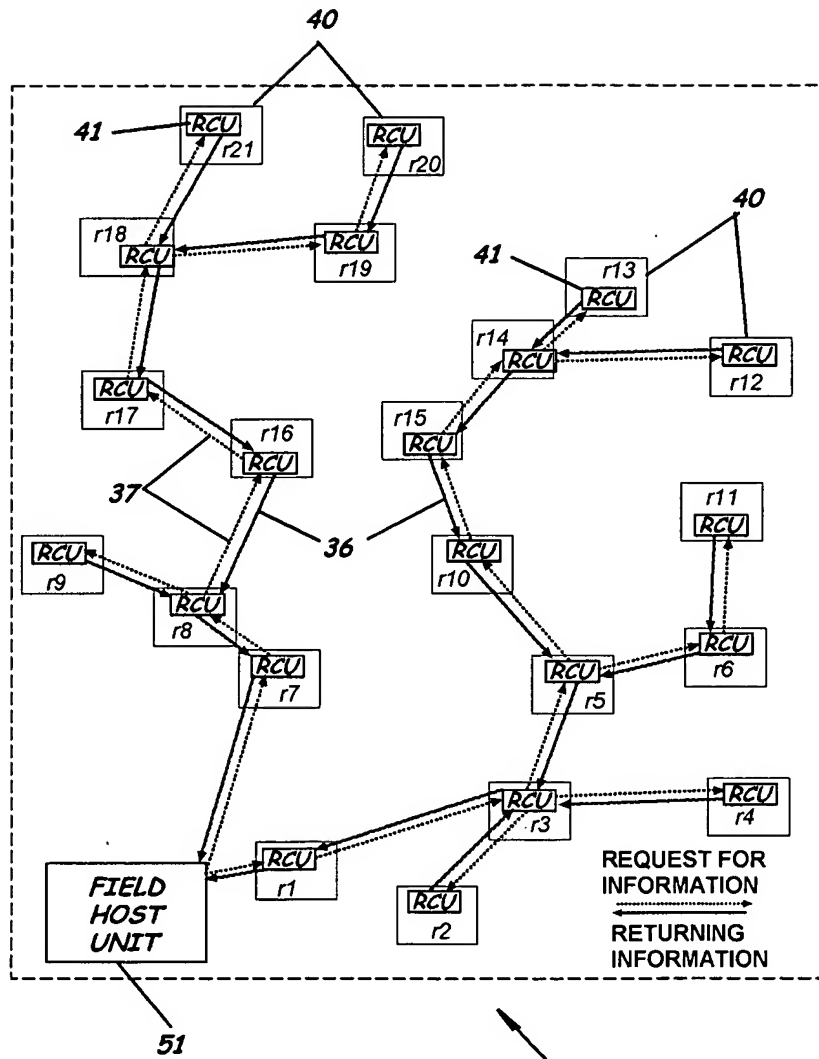
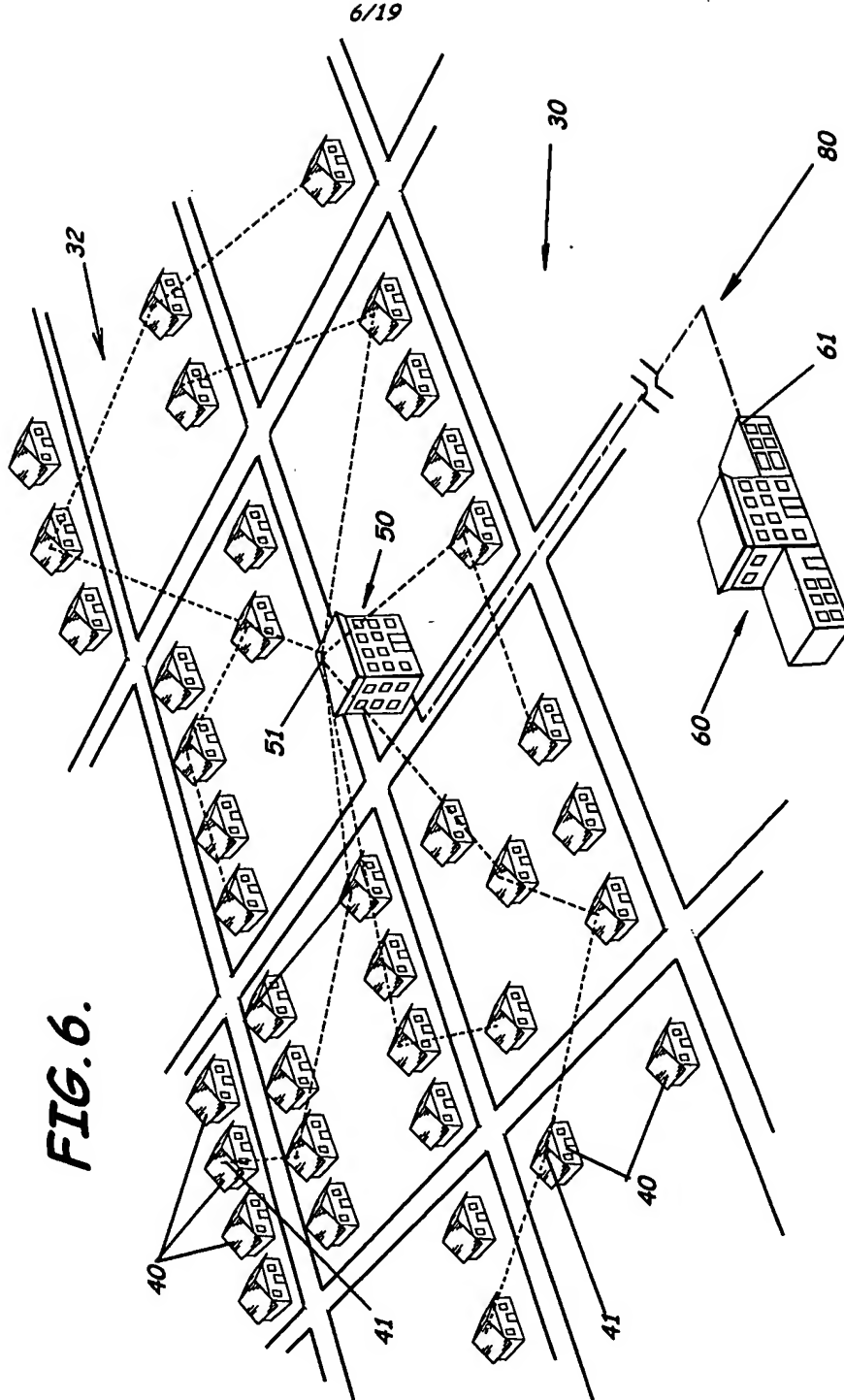
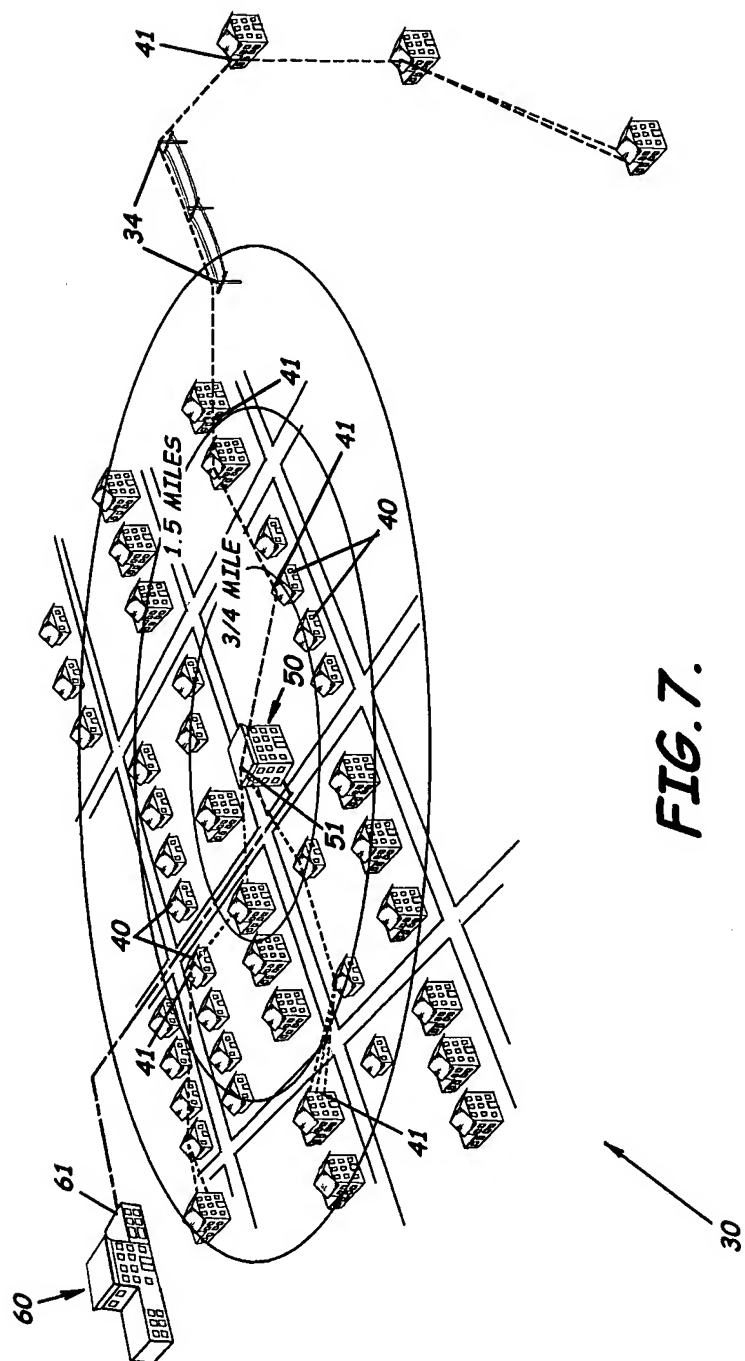
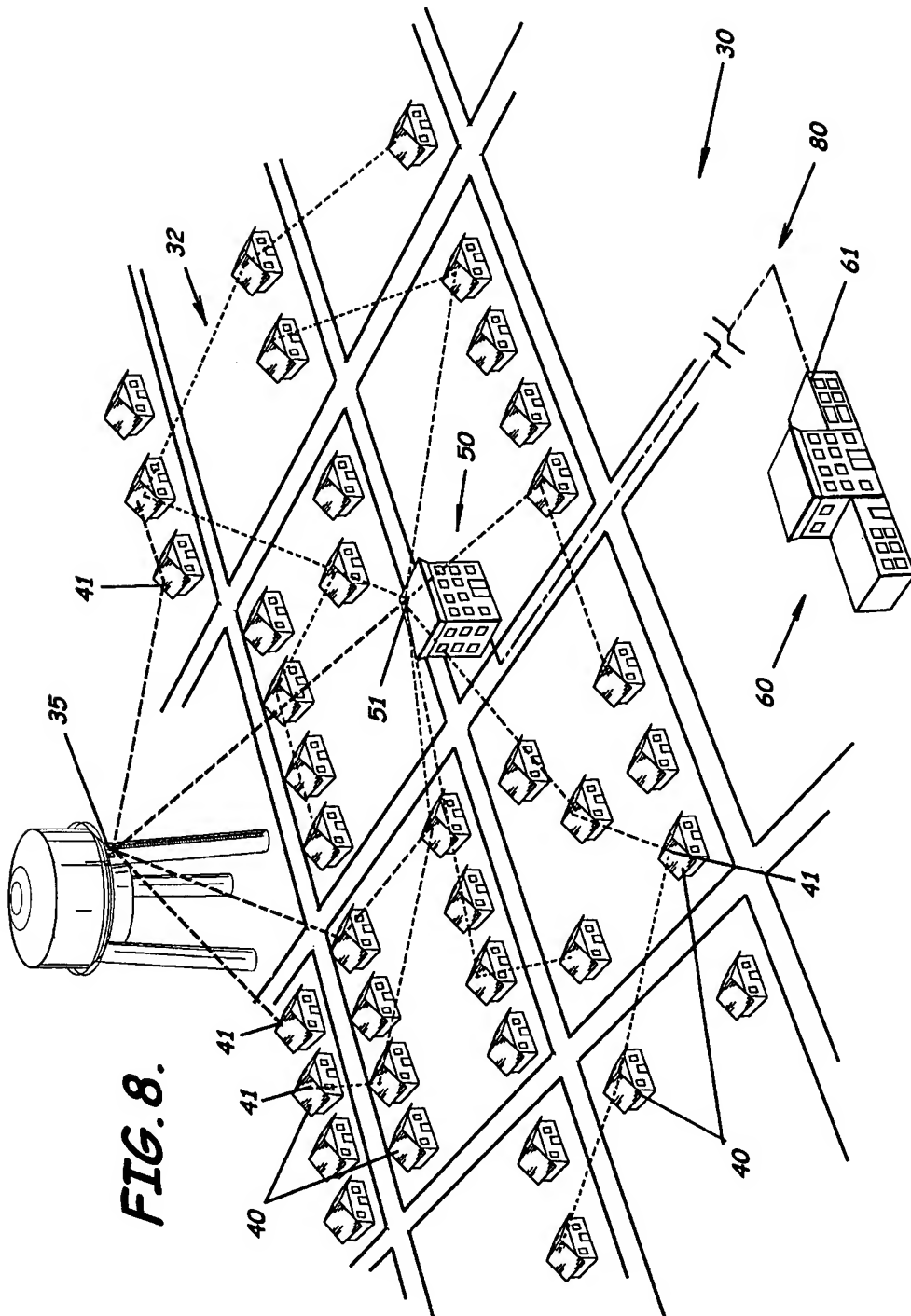


FIG. 5.







9/19

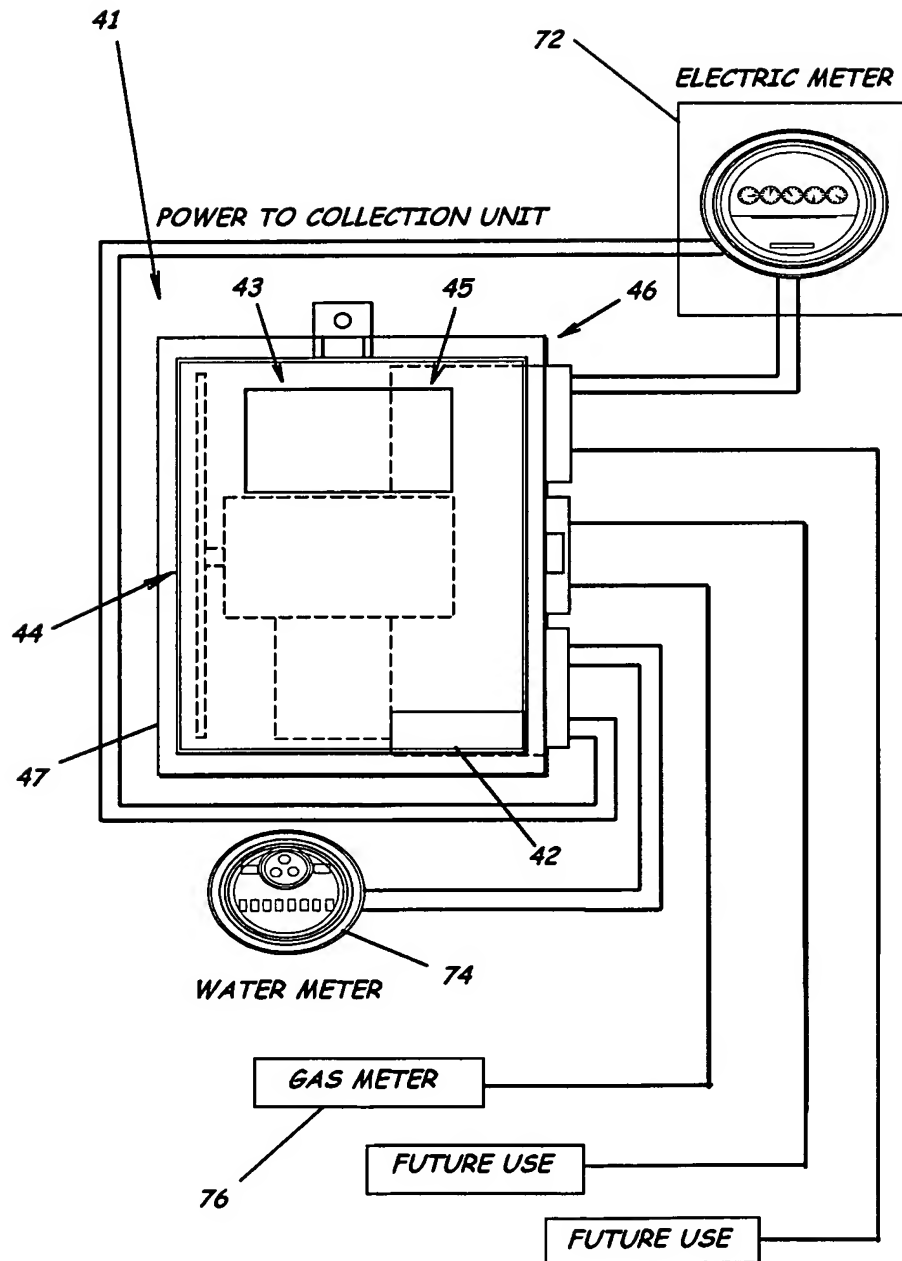
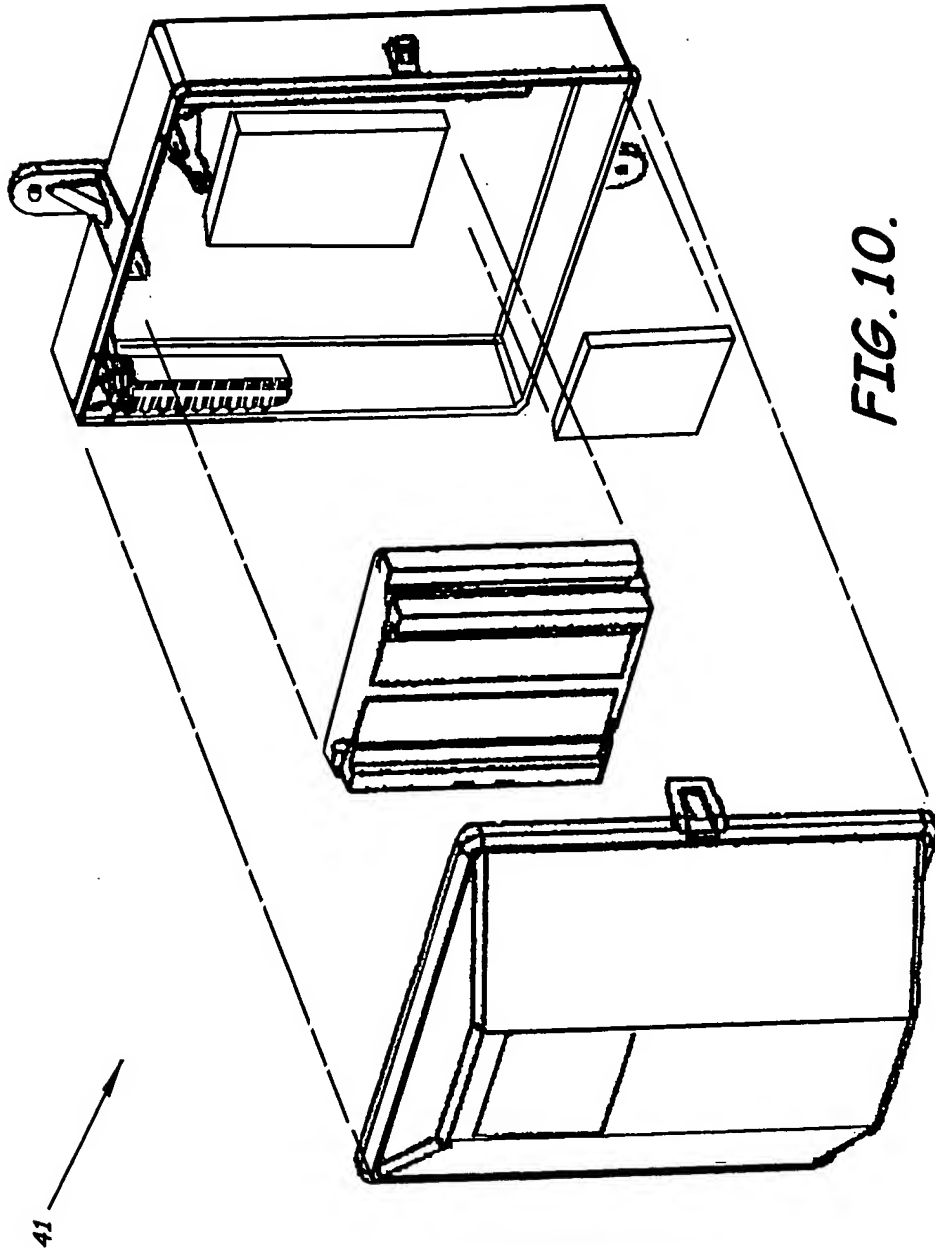


FIG. 9.

10/19



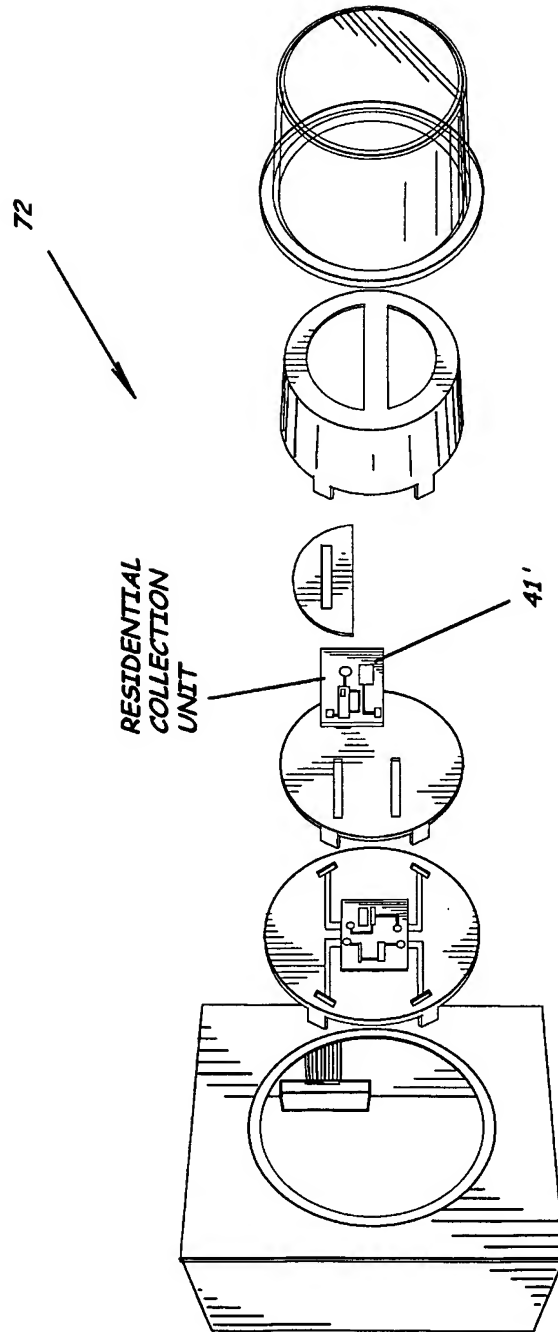


FIG. 11.

12/19

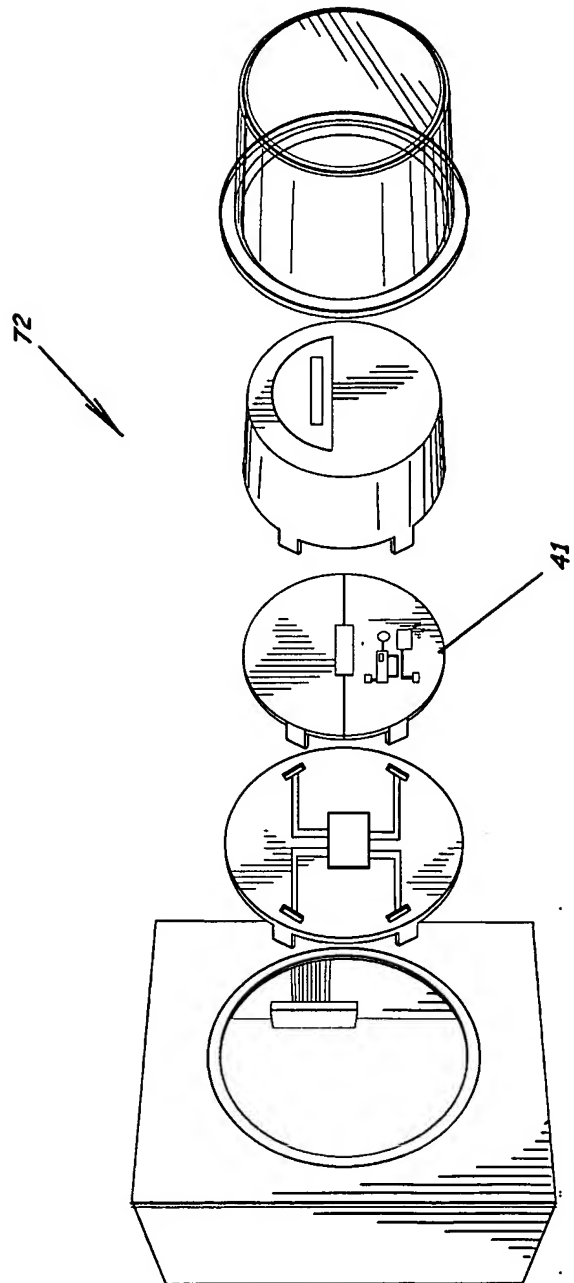


FIG. 12.

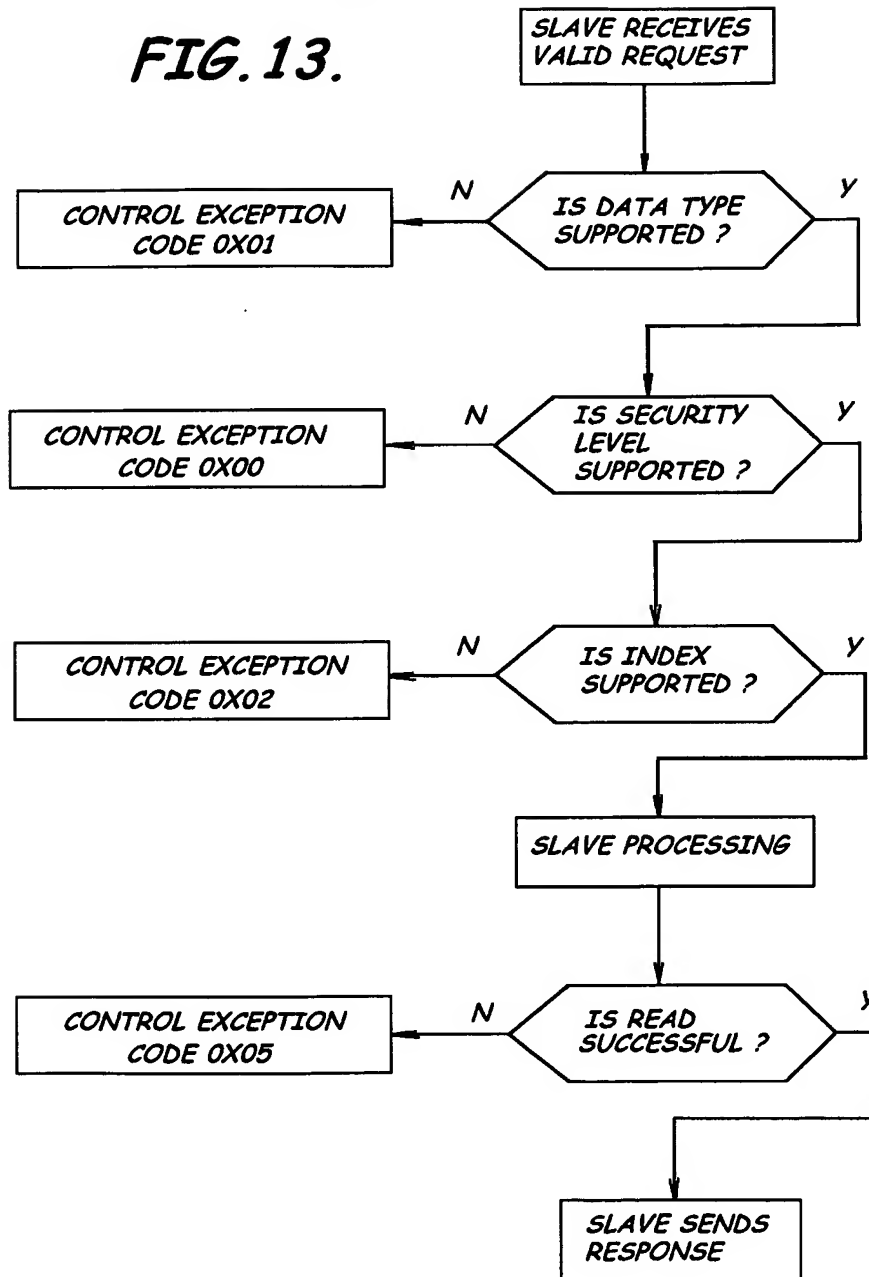
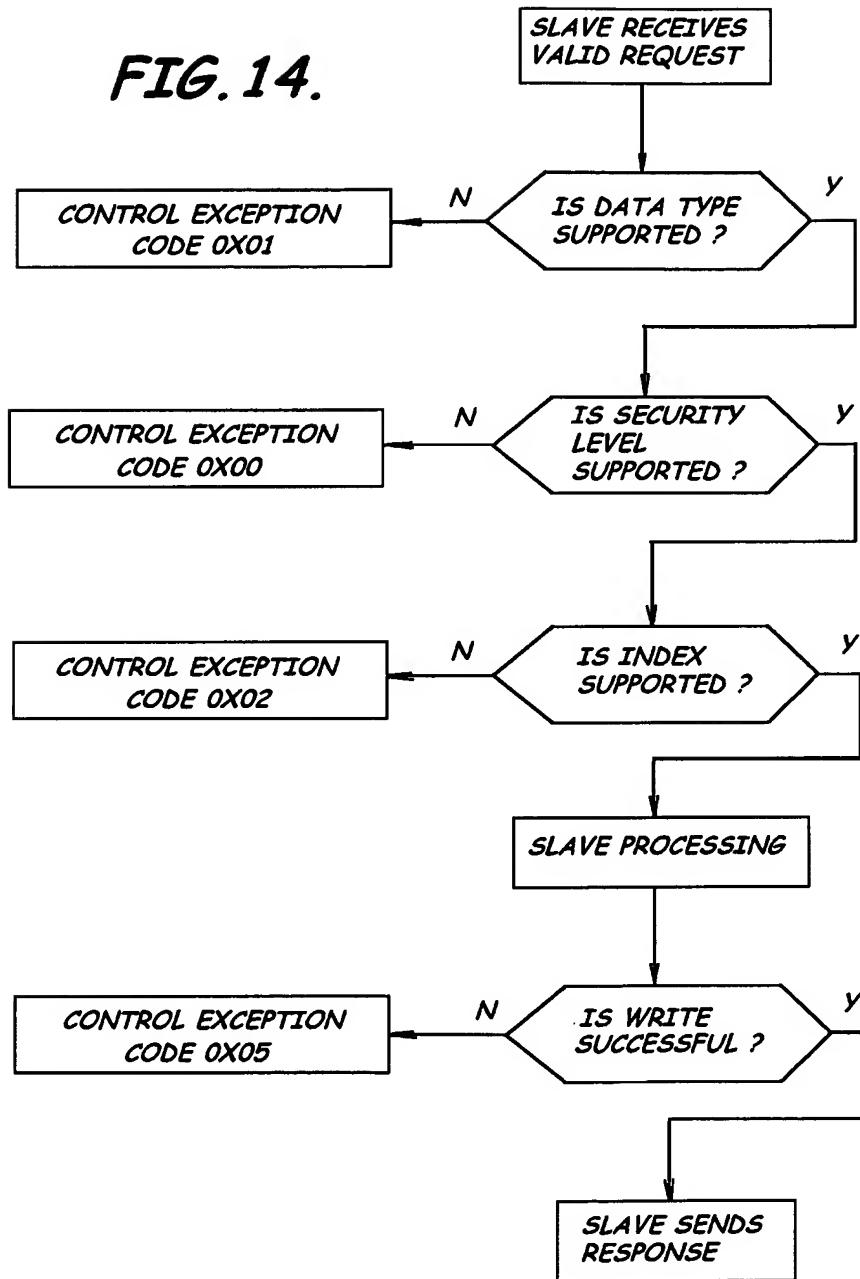
FIG. 13.

FIG. 14.

ETG QNL-RCU-41 Frequency List

RX SETTING	TX SETTING	FREQUENCY
{ 0x3CE521 }	{ 0x3CEA77 }	// 909300000 (0x00)
{ 0x3DE7CF }	{ 0x3DED25 }	// 924200000 (0x01)
{ 0x3CB9B9 }	{ 0x3CBF0F }	// 906800000 (0x02)
{ 0x3D21E5 }	{ 0x3D2739 }	// 912800000 (0x03)
{ 0x3CBB77 }	{ 0x3CC0CB }	// 906900000 (0x04)
{ 0x3D42E1 }	{ 0x3D4837 }	// 914700000 (0x05)
{ 0x3D2E08 }	{ 0x3D3361 }	// 913600000 (0x06)
{ 0x3CBEFF }	{ 0x3CC445 }	// 907100000 (0x07)
{ 0x3E0E01 }	{ 0x3E1357 }	// 926400000 (0x08)
{ 0x3D1E6B }	{ 0x3D23C1 }	// 912600000 (0x09)
{ 0x3CF67D }	{ 0x3CF8D3 }	// 910300000 (0x0A)
{ 0x3D1245 }	{ 0x3D1799 }	// 911900000 (0x0B)
{ 0x3DCA48 }	{ 0x3DCF41 }	// 922500000 (0x0C)
{ 0x3D15BD }	{ 0x3D1B13 }	// 912100000 (0x0D)
{ 0x3CF839 }	{ 0x3CF8F }	// 910400000 (0x0E)
{ 0x3DCF81 }	{ 0x3DD4D7 }	// 922800000 (0x0F)
{ 0x3DED05 }	{ 0x3DF259 }	// 924500000 (0x10)
{ 0x3CC8F }	{ 0x3CD3E5 }	// 908000000 (0x11)
{ 0x3D6065 }	{ 0x3D65B9 }	// 916400000 (0x12)
{ 0x3C9389 }	{ 0x3C98DD }	// 904600000 (0x13)
{ 0x3CD681 }	{ 0x3CDAD7 }	// 908400000 (0x14)
{ 0x3E284F }	{ 0x3E2BA5 }	// 927800000 (0x15)
{ 0x3D8853 }	{ 0x3D8DA9 }	// 918700000 (0x16)
{ 0x3DDF21 }	{ 0x3DE477 }	// 923700000 (0x17)
{ 0x3D8F45 }	{ 0x3D9499 }	// 919100000 (0x18)
{ 0x3CB841 }	{ 0x3CB897 }	// 906600000 (0x19)
{ 0x3DA419 }	{ 0x3DA86F }	// 920300000 (0x1A)
{ 0x3D2029 }	{ 0x3D257D }	// 912700000 (0x1B)
{ 0x3CEDCF }	{ 0x3CF325 }	// 909800000 (0x1C)
{ 0x3D0853 }	{ 0x3D10A9 }	// 911500000 (0x1D)
{ 0x3CF149 }	{ 0x3CF69D }	// 910000000 (0x1E)
{ 0x3D6C8B }	{ 0x3D71E1 }	// 917100000 (0x1F)
{ 0x3D255D }	{ 0x3D2AB3 }	// 913000000 (0x20)
{ 0x3D5281 }	{ 0x3D57D7 }	// 915800000 (0x21)
{ 0x3D1779 }	{ 0x3D1CCF }	// 912200000 (0x22)
{ 0x3DBE25 }	{ 0x3DC379 }	// 921800000 (0x23)
{ 0x3CA168 }	{ 0x3CA6C1 }	// 905400000 (0x24)
{ 0x3DE613 }	{ 0x3DEB69 }	// 924100000 (0x25)
{ 0x3DEB40 }	{ 0x3DF09D }	// 924400000 (0x26)
{ 0x3D56F9 }	{ 0x3D5B4F }	// 915800000 (0x27)
{ 0x3D50C5 }	{ 0x3D5619 }	// 915500000 (0x28)
{ 0x3D02A5 }	{ 0x3D07F9 }	// 911000000 (0x29)
{ 0x3E001D }	{ 0x3E0573 }	// 925600000 (0x2A)
{ 0x3C8F13 }	{ 0x3C7469 }	// 902500000 (0x2B)
{ 0x3DA0A1 }	{ 0x3DA5F7 }	// 920100000 (0x2C)
{ 0x3E22D7 }	{ 0x3E282B }	// 927600000 (0x2D)
{ 0x3D3BEF }	{ 0x3D4145 }	// 914300000 (0x2E)
{ 0x3CC5E1 }	{ 0x3CCB37 }	// 907500000 (0x2F)
{ 0x3CDFEB }	{ 0x3CE541 }	// 909000000 (0x30)
{ 0x3D2719 }	{ 0x3D2C8F }	// 913100000 (0x31)
{ 0x3C8C97 }	{ 0x3C81EB }	// 904200000 (0x32)
{ 0x3DD9EB }	{ 0x3DDF41 }	// 923400000 (0x33)
{ 0x3D7DE9 }	{ 0x3D833D }	// 918100000 (0x34)
{ 0x3C7CF7 }	{ 0x3C824B }	// 903300000 (0x35)

FIG. 15A.

ETG QNL-RCU-41 Frequency List (continued)

RX SETTING	TX SETTING	FREQUENCY
{ 0x3C8545 }	{ 0x3C8A99 }	// 804700000 (0x36)
{ 0x3CFB83 }	{ 0x3D0109 }	// 810800000 (0x37)
{ 0x3E0563 }	{ 0x3E0AA9 }	// 825800000 (0x38)
{ 0x3D8161 }	{ 0x3D86B7 }	// 918300000 (0x39)
{ 0x3D5CEB }	{ 0x3D6241 }	// 918200000 (0x3A)
{ 0x3CC425 }	{ 0x3CC979 }	// 907400000 (0x3B)
{ 0x3DF76F }	{ 0x3DFCC5 }	// 825100000 (0x3C)
{ 0x3D8B6B }	{ 0x3DA0C1 }	// 919800000 (0x3D)
{ 0x3C891D }	{ 0x3C8E73 }	// 904000000 (0x3E)
{ 0x3DA94F }	{ 0x3DAEA5 }	// 820600000 (0x4F)
{ 0x3CEA67 }	{ 0x3CEFA8 }	// 809600000 (0x40)
{ 0x3DC88F }	{ 0x3DCDE5 }	// 822400000 (0x41)
{ 0x3D1401 }	{ 0x3D1957 }	// 812000000 (0x42)
{ 0x3D831D }	{ 0x3D8873 }	// 918400000 (0x43)
{ 0x3D00E9 }	{ 0x3D063D }	// 910900000 (0x44)
{ 0x3D36B9 }	{ 0x3D3C0F }	// 914000000 (0x45)
{ 0x3D6221 }	{ 0x3D6777 }	// 916500000 (0x46)
{ 0x3D97F3 }	{ 0x3D9D49 }	// 919600000 (0x47)
{ 0x3DFCA5 }	{ 0x3E01F9 }	// 825400000 (0x48)
{ 0x3D9637 }	{ 0x3D9B8B }	// 919500000 (0x49)
{ 0x3DC359 }	{ 0x3DC8AF }	// 822100000 (0x4A)
{ 0x3D23A1 }	{ 0x3D28F7 }	// 912900000 (0x4B)
{ 0x3D84D9 }	{ 0x3D8A2F }	// 918500000 (0x4C)
{ 0x3C85A5 }	{ 0x3C8AF9 }	// 903800000 (0x4D)
{ 0x3D4817 }	{ 0x3D4D6B }	// 915000000 (0x4E)
{ 0x3D081D }	{ 0x3D0873 }	// 911200000 (0x4F)
{ 0x3E08C8 }	{ 0x3E0E21 }	// 926100000 (0x50)
{ 0x3DD4B7 }	{ 0x3DDA0B }	// 923100000 (0x51)
{ 0x3D78F7 }	{ 0x3D7C4B }	// 917700000 (0x52)
{ 0x3D4125 }	{ 0x3D4679 }	// 914600000 (0x53)
{ 0x3E1BE5 }	{ 0x3E2139 }	// 927200000 (0x54)
{ 0x3E1337 }	{ 0x3E188B }	// 928700000 (0x55)
{ 0x3D63DD }	{ 0x3D6933 }	// 916600000 (0x56)
{ 0x3D2C4F }	{ 0x3D31A5 }	// 913400000 (0x57)
{ 0x3D78B3 }	{ 0x3D7E09 }	// 917800000 (0x58)
{ 0x3D1937 }	{ 0x3D1E8B }	// 912300000 (0x59)
{ 0x3D9D29 }	{ 0x3DA27D }	// 919900000 (0x5A)
{ 0x3CDE2F }	{ 0x3CE385 }	// 908900000 (0x5B)
{ 0x3D0481 }	{ 0x3D0987 }	// 911100000 (0x5C)
{ 0x3CEC13 }	{ 0x3CF169 }	// 909700000 (0x5D)
{ 0x3D6767 }	{ 0x3D6CAB }	// 918800000 (0x5E)
{ 0x3DC617 }	{ 0x3DCA8B }	// 922200000 (0x5F)
{ 0x3CFD6F }	{ 0x3D02C5 }	// 910700000 (0x60)
{ 0x3D8BCB }	{ 0x3D8121 }	// 910900000 (0x61)
{ 0x3D9EE8 }	{ 0x3DA439 }	// 920000000 (0x62)
{ 0x3CF8F7 }	{ 0x3CFF4B }	// 910500000 (0x63)
{ 0x3D2FC9 }	{ 0x3D351D }	// 913600000 (0x64)
{ 0x3E0397 }	{ 0x3E08EB }	// 925800000 (0x65)
{ 0x3DFAE9 }	{ 0x3E003D }	// 925300000 (0x66)
{ 0x3CD04B }	{ 0x3CD5A1 }	// 908100000 (0x67)
{ 0x3D28D7 }	{ 0x3D2E2B }	// 913200000 (0x68)
{ 0x3DE9DD }	{ 0x3DE633 }	// 823800000 (0x69)
{ 0x3D7539 }	{ 0x3D7A8F }	// 917600000 (0x6A)
{ 0x3DDBA9 }	{ 0x3DE0FD }	// 923500000 (0x6B)
{ 0x3CC78D }	{ 0x3CCCF3 }	// 907600000 (0x6C)
{ 0x3D3877 }	{ 0x3D3DCB }	// 914100000 (0x6D)

FIG. 15B.

ETG QNL-RCU-41 Frequency List (continued)

RX SETTING	TX SETTING	FREQUENCY
{ 0x3D1088	0x3D15DD	} // 911800000 (0x8E)
{ 0x3D88EF	0x3DBE45	} // 921500000 (0x8F)
{ 0x3D2A93	0x3D2FE9	} // 913300000 (0x70)
{ 0x3C77C1	0x3C7D17	} // 903000000 (0x71)
{ 0x3CABD7	0x3CB12B	} // 906000000 (0x72)
{ 0x3CDAB7	0x3CE008	} // 908700000 (0x73)
{ 0x3E2119	0x3E288F	} // 927500000 (0x74)
{ 0x3E0C45	0x3E1199	} // 926300000 (0x75)
{ 0x3D89AF	0x3D9F05	} // 919700000 (0x76)
{ 0x3DD82F	0x3DD085	} // 923300000 (0x77)
{ 0x3C70CF	0x3C7825	} // 902800000 (0x78)
{ 0x3CF305	0x3CF859	} // 910100000 (0x79)
{ 0x3CB108	0x3CB661	} // 906300000 (0x7A)
{ 0x3E1F5D	0x3E2483	} // 927400000 (0x7B)
{ 0x3C8D57	0x3C72AB	} // 902400000 (0x7C)
{ 0x3D3341	0x3D3897	} // 913800000 (0x7D)
{ 0x3D543D	0x3D6993	} // 915700000 (0x7E)
{ 0x3DBFE1	0x3DC537	} // 921900000 (0x7F)
{ 0x3C7EB3	0x3C8409	} // 903400000 (0x80)
{ 0x3DF583	0x3DF809	} // 925000000 (0x81)
{ 0x3DB041	0x3DB597	} // 921000000 (0x82)
{ 0x3C7449	0x3C789D	} // 902800000 (0x83)
{ 0x3CFF2B	0x3D0481	} // 910800000 (0x84)
{ 0x3DFE81	0x3E0387	} // 925500000 (0x85)
{ 0x3CB2C9	0x3CB81D	} // 906400000 (0x86)
{ 0x3CEF8B	0x3CF4E1	} // 909900000 (0x87)
{ 0x3D7FA5	0x31384179	} // 918200000 (0x88)
{ 0x3D8C89	0x3DC1BD	} // 921700000 (0x89)
{ 0x3D3185	0x3D38D9	} // 913700000 (0x8A)
{ 0x3CD209	0x3CD75D	} // 908200000 (0x8B)
{ 0x3DC8D3	0x3DCC29	} // 922300000 (0x8C)
{ 0x3E14F3	0x3E1A49	} // 926800000 (0x8D)
{ 0x3DE98B	0x3DEEE1	} // 924300000 (0x8E)
{ 0x3C806F	0x3C85C5	} // 903500000 (0x8F)
{ 0x3CAD93	0x3CB2E9	} // 906100000 (0x90)
{ 0x3E280B	0x3E2D61	} // 927900000 (0x91)
{ 0x3D0ECB	0x3D1421	} // 911700000 (0x92)
{ 0x3DE209	0x3DE7EF	} // 923900000 (0x93)
{ 0x3D8733	0x3DBC89	} // 921400000 (0x94)
{ 0x3E1A29	0x3E1F7D	} // 927100000 (0x95)
{ 0x3DD13D	0x3DD693	} // 922800000 (0x96)
{ 0x3D3A33	0x3D3F89	} // 914200000 (0x97)
{ 0x3DACC9	0x3DB21D	} // 920800000 (0x98)
{ 0x3D3F69	0x3D448D	} // 914500000 (0x99)
{ 0x3CA329	0x3CA87D	} // 905500000 (0x9A)
{ 0x3D0997	0x3D0EEB	} // 911400000 (0x9B)
{ 0x3DEEC1	0x3DF417	} // 924600000 (0x9C)
{ 0x3CC859	0x3CCEAF	} // 907700000 (0x9D)
{ 0x3C728B	0x3C77E1	} // 902700000 (0x9E)
{ 0x3D1AF3	0x3D2049	} // 912400000 (0x9F)
{ 0x3DD673	0x3DDBC9	} // 923200000 (0xA0)
{ 0x3D5EA9	0x3D83FD	} // 916300000 (0xA1)
{ 0x3D7005	0x3D7559	} // 917300000 (0xA2)
{ 0x3D488F	0x3D50E5	} // 915200000 (0xA3)
{ 0x3CE365	0x3CE889	} // 908200000 (0xA4)
{ 0x3C9C37	0x3CA18B	} // 905100000 (0xA5)

FIG. 15C.

ETG QNL-RCU-41 Frequency List (continued)

RX SETTING	TX SETTING	FREQUENCY
0x3D6599	0x3D8AEF	916700000 (0xA6)
0x3DAB0B	0x3D8061	920700000 (0xA7)
0x3C91CB	0x3C9721	904500000 (0xAB)
0x3DCDC5	0x3DD319	922700000 (0xA8)
0x3DA793	0x3DACE9	920500000 (0xAA)
0x3C900F	0x3C9565	904400000 (0xAB)
0x3C9FAF	0x3CA505	905300000 (0xAC)
0x3D4D4B	0x3D52A1	915300000 (0xAD)
0x3D1CAF	0x3D2205	912500000 (0xAE)
0x3C7839	0x3C808F	903200000 (0xAF)
0x3D4859	0x3D48AF	914900000 (0xB0)
0x3DF07D	0x3DF5D3	924700000 (0xB1)
0x3DD065	0x3DE2B9	923600000 (0xB2)
0x3E1179	0x3E16CF	926600000 (0xB3)
0x3DBAAB	0x3DC001	921600000 (0xB4)
0x3DD2F9	0x3DD84F	923000000 (0xB5)
0x3DF3F7	0x3DF84B	924900000 (0xB6)
0x3C8761	0x3C8CB7	903900000 (0xB7)
0x3D6E49	0x3D739D	917200000 (0xB8)
0x3D6913	0x3D6E69	916800000 (0xB9)
0x3E070F	0x3E0C65	926000000 (0xBA)
0x3C8AD9	0x3C902F	904100000 (0xBB)
0x3D3DAB	0x3D4301	914400000 (0xBC)
0x3C0C73	0x3CE1C9	906800000 (0xBD)
0x3D6ACF	0x3D7025	917000000 (0xBE)
0x3DF239	0x3DF78F	924800000 (0xBF)
0x3E2493	0x3E29E9	927700000 (0xC0)
0x3E1868	0x3E1DC1	927000000 (0xC1)
0x3D49D3	0x3D4F29	915100000 (0xC2)
0x3D4F09	0x3D545D	915400000 (0xC3)
0x3CCB17	0x3CD068	907800000 (0xC4)
0x3D928D	0x3D9813	919300000 (0xC5)
0x3C9DF3	0x3CA349	905200000 (0xC6)
0x3D07D9	0x3D0D2F	911300000 (0xC7)
0x3D8D89	0x3D92DD	919000000 (0xC8)
0x3DF92B	0x3DFE81	925200000 (0xC9)
0x3C8D33	0x3CC289	907000000 (0xCA)
0x3D737D	0x3D78D3	917500000 (0xCB)
0x3D34FD	0x3D3A53	913900000 (0xCC)
0x3CC0AB	0x3CC801	907200000 (0xCD)
0x3C9701	0x3C9C67	904800000 (0xCE)
0x3CAA19	0x3CAF6F	905900000 (0xCF)
0x3DA5D7	0x3DAB2B	920400000 (0xD0)
0x3C87FD	0x3C8D53	906700000 (0xD1)
0x3CE899	0x3CEDEF	908500000 (0xD2)
0x3CCCD3	0x3CD229	907900000 (0xD3)
0x3E01D9	0x3E072F	925700000 (0xD4)
0x3C7605	0x3C7B69	902900000 (0xD5)
0x3D5973	0x3D5EC9	916000000 (0xD6)
0x3C9A79	0x3C9FCF	905000000 (0xD7)
0x3D71C1	0x3D7717	917400000 (0xD8)
0x3D682F	0x3D6085	916100000 (0xD9)
0x3C797D	0x3C7ED3	903100000 (0xDA)
0x3D8697	0x3D88EB	918600000 (0xDB)
0x3C8485	0x3C89D9	906500000 (0xDC)
0x3D9101	0x3D9657	918200000 (0xDD)

FIG.15D.

ETG QNL-RCU-41 Frequency List (continued)

RX SETTING	TX SETTING	FREQUENCY
{ 0x3DE467 }	{ 0x3DE8A8 }	// 92400000 (0xDE)
{ 0x3CA85D }	{ 0x3CAD83 }	// 90580000 (0xDF)
{ 0x3DB1FD }	{ 0x3DB753 }	// 92110000 (0xE0)
{ 0x3DC19D }	{ 0x3DC6F3 }	// 92200000 (0xE1)
{ 0x3E0F8D }	{ 0x3E1513 }	// 92850000 (0xE2)
{ 0x3D0D0F }	{ 0x3D1285 }	// 91160000 (0xE3)
{ 0x3D7A6F }	{ 0x3D7FC6 }	// 91790000 (0xE4)
{ 0x3C83E9 }	{ 0x3C893D }	// 90370000 (0xE5)
{ 0x3D7C2B }	{ 0x3D8181 }	// 91800000 (0xE6)
{ 0x3C888D }	{ 0x3C9E13 }	// 90480000 (0xE7)
{ 0x3CAF4F }	{ 0x3CB4A5 }	// 90820000 (0xE8)
{ 0x3DB3B9 }	{ 0x3DB90F }	// 92120000 (0xE9)
{ 0x3E1DA1 }	{ 0x3E22F7 }	// 92730000 (0xEA)
{ 0x3CAB61 }	{ 0x3CABF7 }	// 90570000 (0xEB)
{ 0x3CF4C1 }	{ 0x3CFA17 }	// 91020000 (0xEC)
{ 0x3DAE85 }	{ 0x3DB3D9 }	// 92090000 (0xED)
{ 0x3CA4E5 }	{ 0x3CAA39 }	// 90560000 (0xEE)
{ 0x3C8E53 }	{ 0x3C83A9 }	// 90430000 (0xEF)
{ 0x3E0A89 }	{ 0x3E0FDD }	// 92820000 (0xF0)
{ 0x3D8A0F }	{ 0x3D8F65 }	// 91880000 (0xF1)
{ 0x3CD73D }	{ 0x3CDC93 }	// 90850000 (0xF2)
{ 0x3DCC09 }	{ 0x3DD15D }	// 92280000 (0xF3)
{ 0x3D449D }	{ 0x3D49F3 }	// 91480000 (0xF4)
{ 0x3CD8F9 }	{ 0x3CDE4F }	// 90860000 (0xF5)
{ 0x3E18AF }	{ 0x3E1C05 }	// 92880000 (0xF6)
{ 0x3CC26 }	{ 0x3CC7BD }	// 90730000 (0xF7)
{ 0x3D9479 }	{ 0x3D99CF }	// 91940000 (0xF8)
{ 0x3CD3C5 }	{ 0x3CD919 }	// 90830000 (0xF9)
{ 0x3CE1A9 }	{ 0x3CE6FD }	// 90910000 (0xFA)
{ 0x3DB577 }	{ 0x3DBACB }	// 92130000 (0xFB)
{ 0x3C822B }	{ 0x3C8781 }	// 90360000 (0xFC)
{ 0x3D57B7 }	{ 0x3D5D0B }	// 91590000 (0xFD)
{ 0x3CE8DD }	{ 0x3CEC33 }	// 90940000 (0xFE)
{ 0x3DA25D }	{ 0x3DA7B3 }	// 92020000 (0xFF)

FIG. 15E.